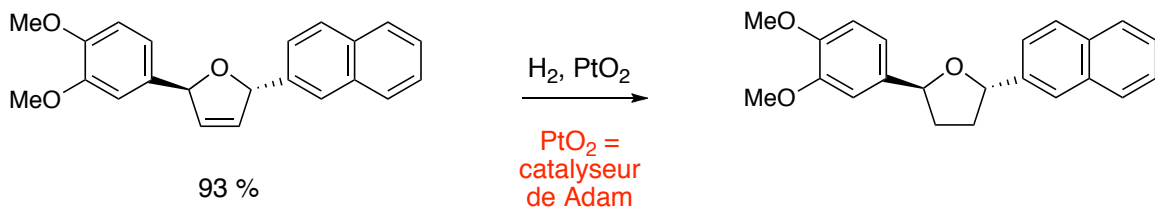
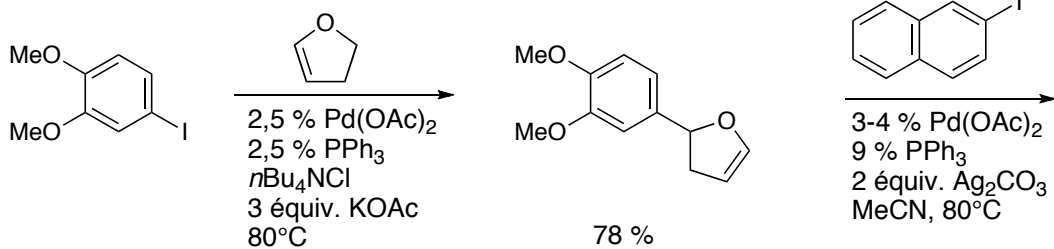


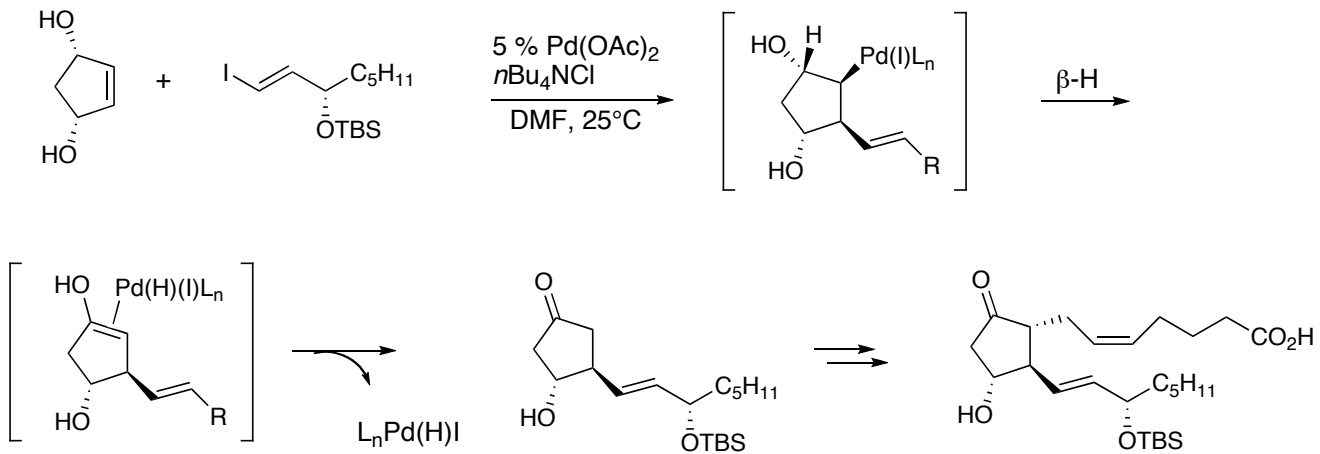
Réaction de Heck intermoléculaire (suite)

1.



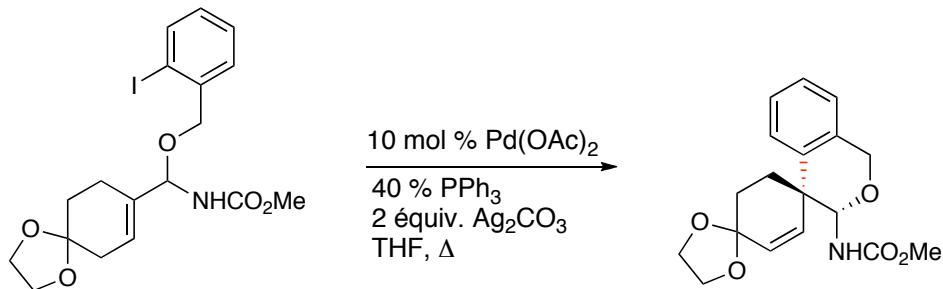
Larock 90JOC407

2.

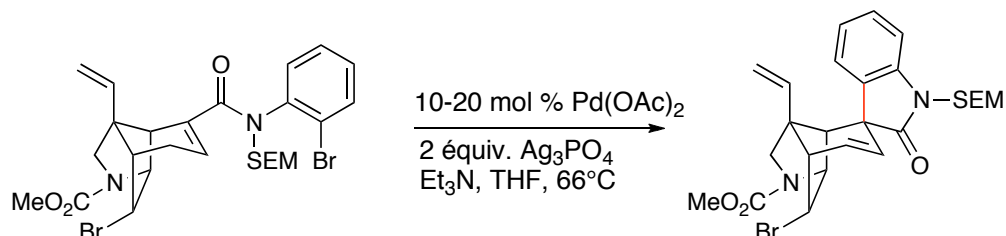


Larock 90PAC653407

Réaction de Heck intramoléculaire

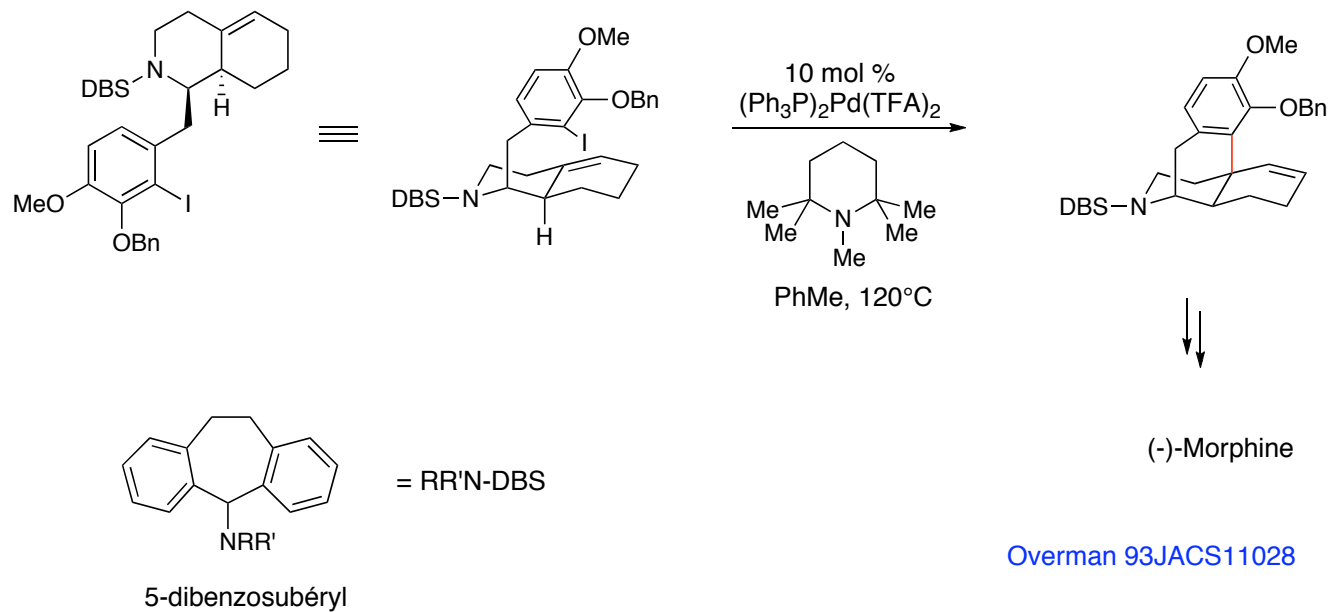


Overman 90JACS6959
Overman 87JOC4130

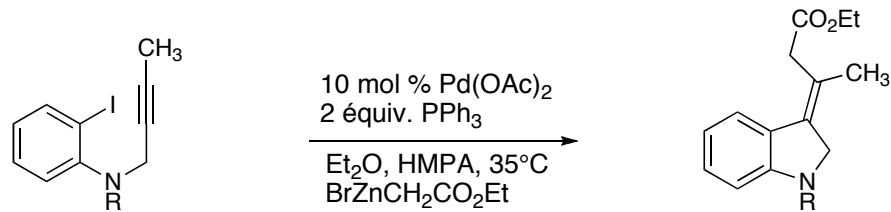


Overman 92TL4859

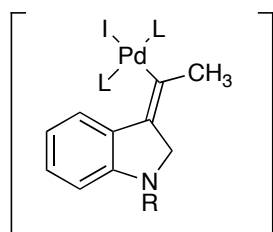
N-SEM = $\text{NCH}_2\text{OCH}_2\text{CH}_2\text{Si}(\text{CH}_3)_3$



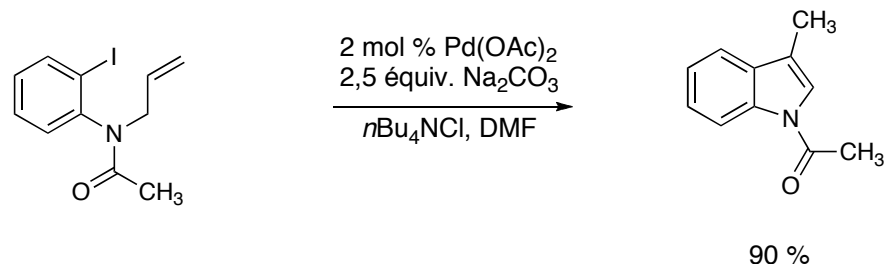
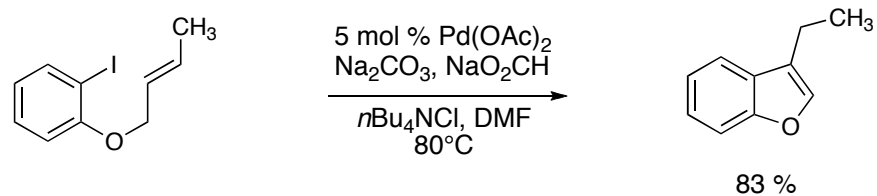
Réaction de Heck intramoléculaire



via :

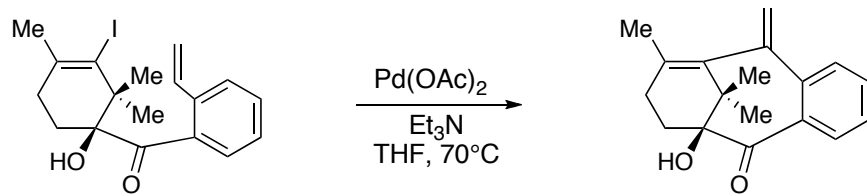


Grigg 89TL1135

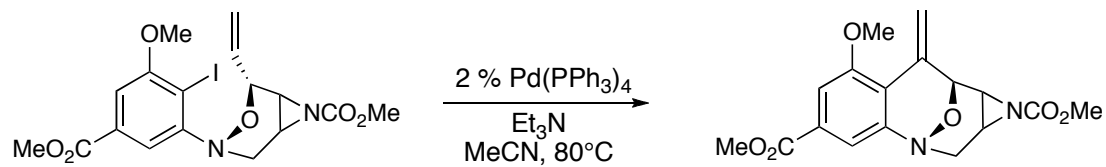


Larock 90PAC653

Réaction de Heck - Applications

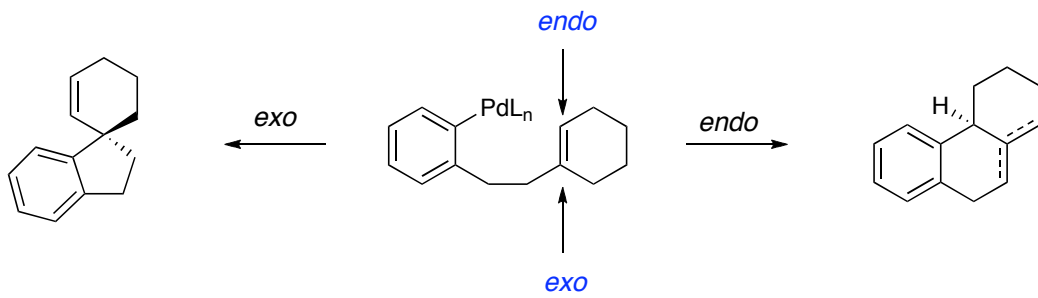


Danishefsky 93TL7253

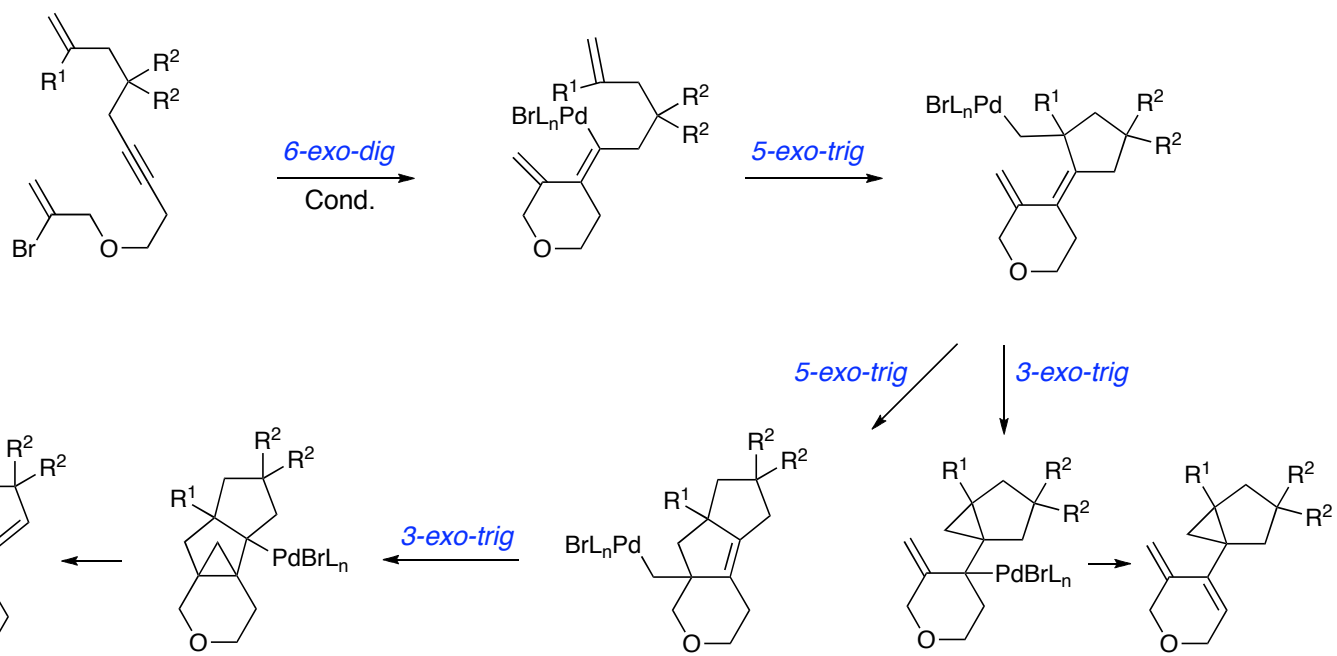
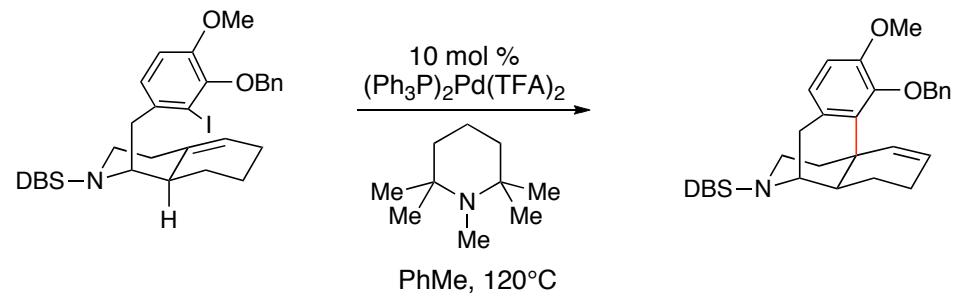


Danishefsky 92JACS6094

Réaction de Heck - Mode de fermeture de cycle

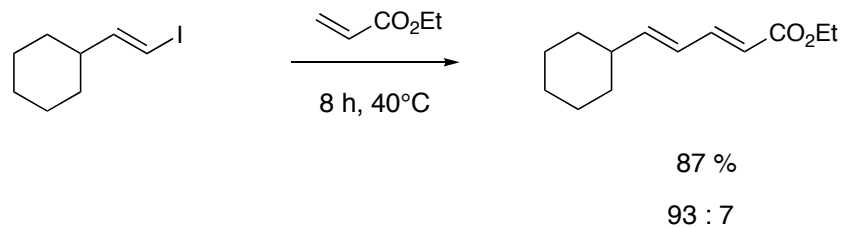
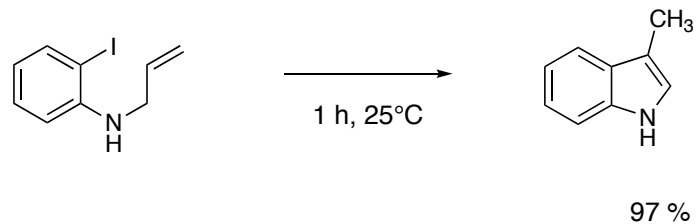
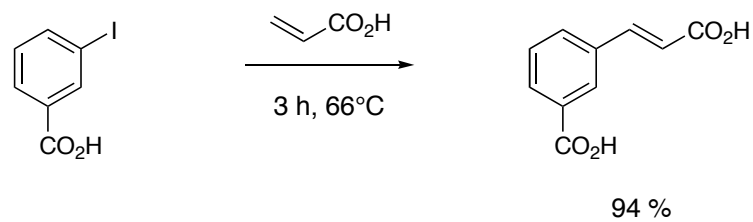
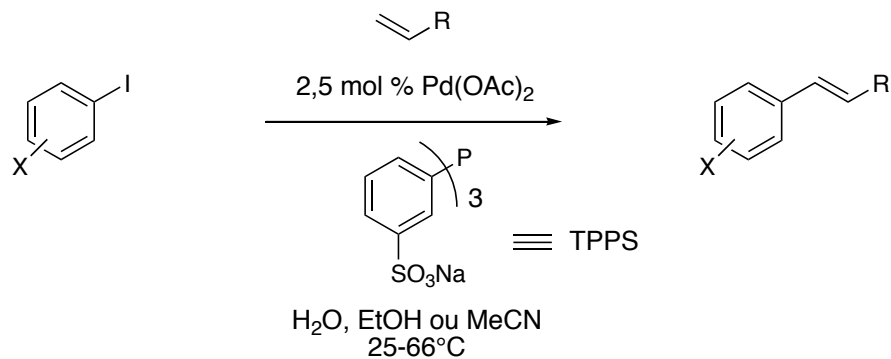


Les fermentures de cycles à 5, 6 et 7 (les cyclisations par réaction de Heck les plus efficaces) conduisent généralement majoritairement aux produits *exo*.



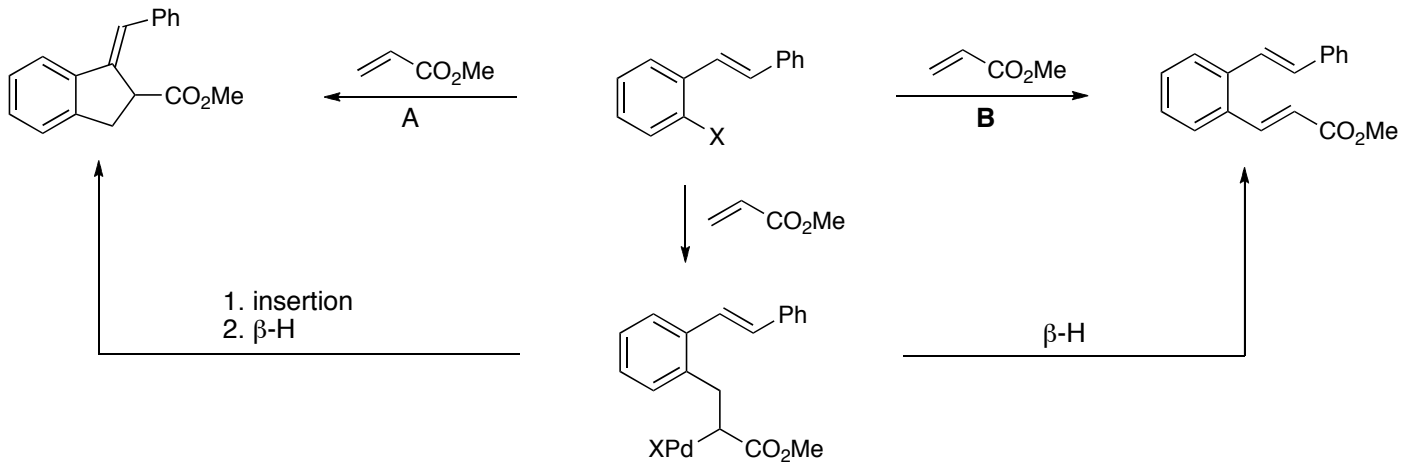
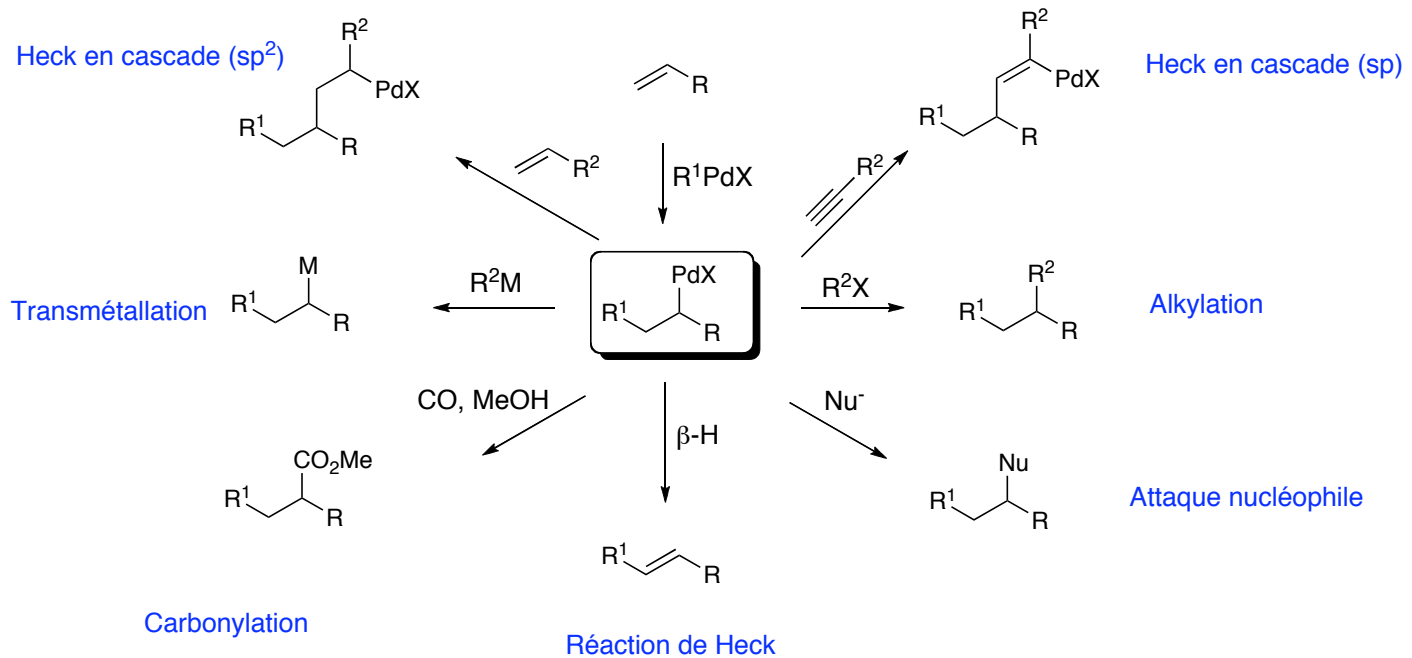
Cond. : $\text{Pd}(\text{OAc})_2$ (3-5 mol %), PPh_3 (12-20 mol %), Ag_2CO_3 , MeCN , 80-130°C

Réaction de Heck dans l'eau



Genêt 92SL715

- Réaction en cascade et couplages multiples

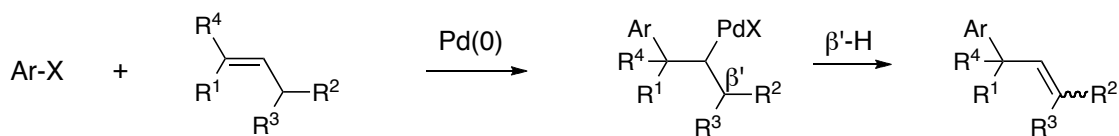


A = $\text{Pd(OAc)}_2, \text{NMP}, \text{KHCO}_3, \text{Bu}_4\text{NCl}$
B = $\text{Pd(OAc)}_2, \text{NEt}_3, \text{PAr}_3, \text{NMP}$

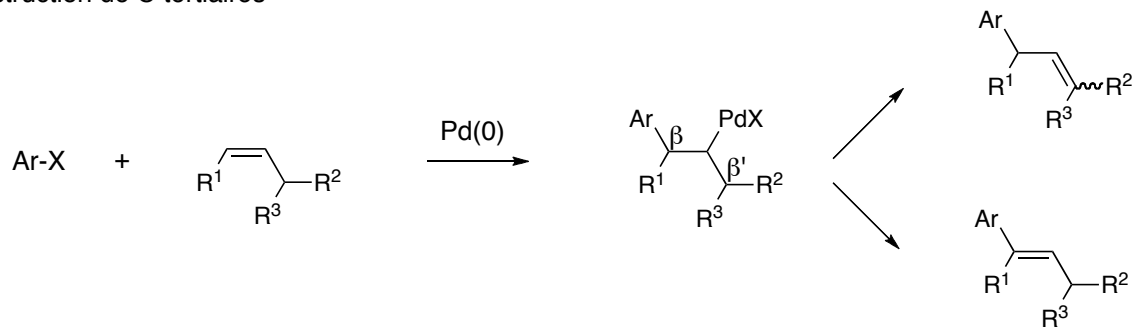
- Réaction de Heck asymétrique

- encore assez limité
- ligands bidentates

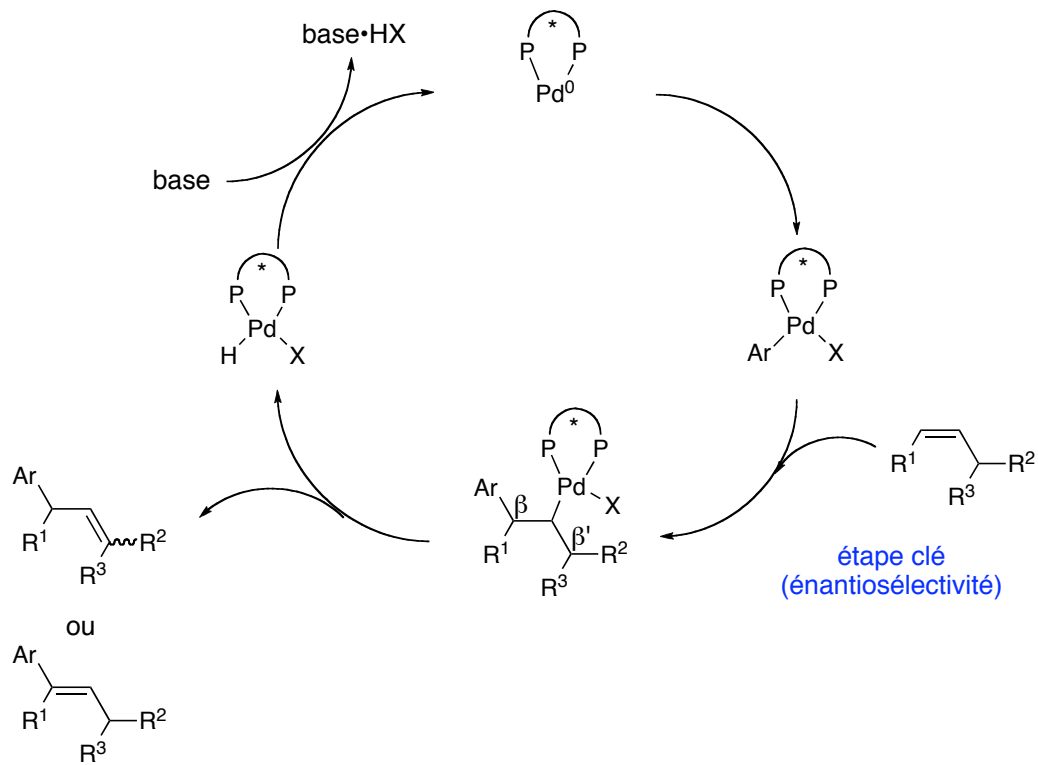
construction de C quaternaires

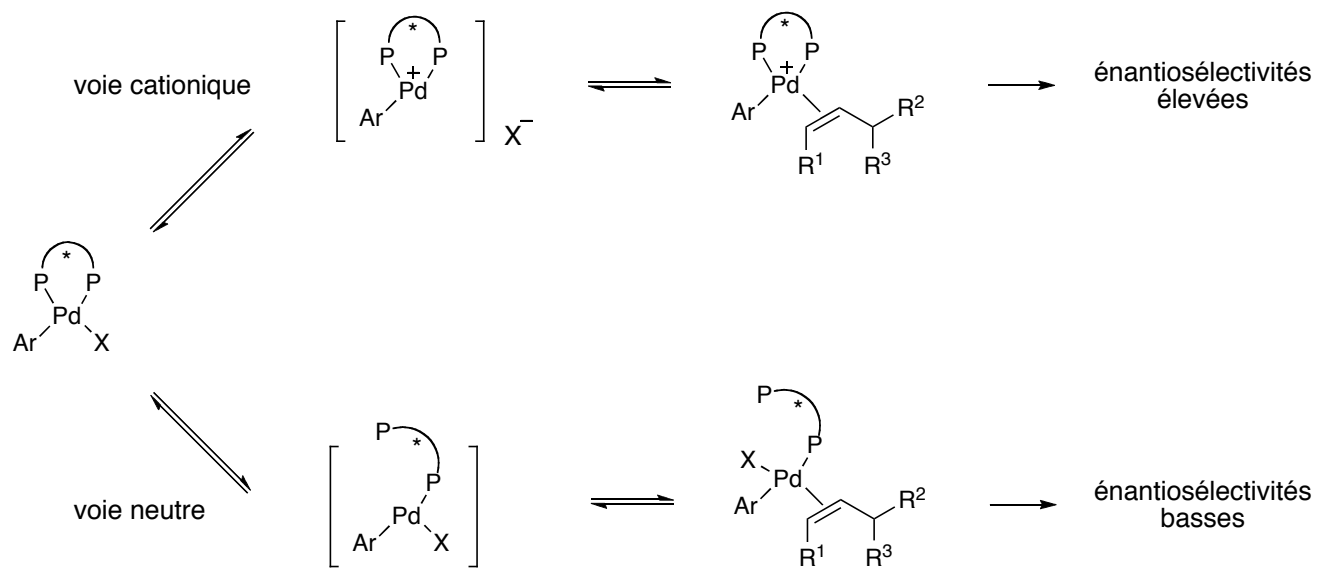


construction de C tertiaires

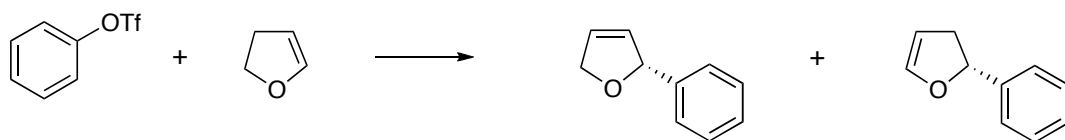


-> favoriser β' -H par rapport à β -H





Exemples

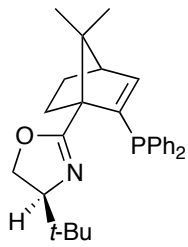
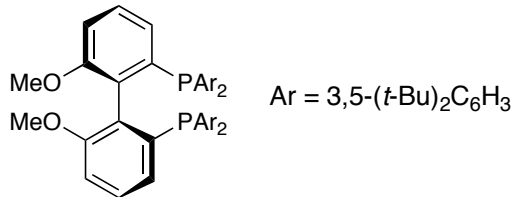


Pd₂(dba)₃, **A**, *i*-Pr₂NEt, PhH, 70°C

Pd(OAc)₂, **B**, 40°C

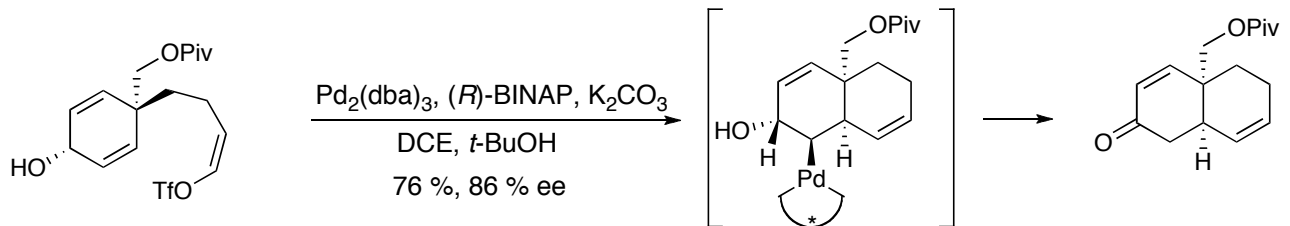
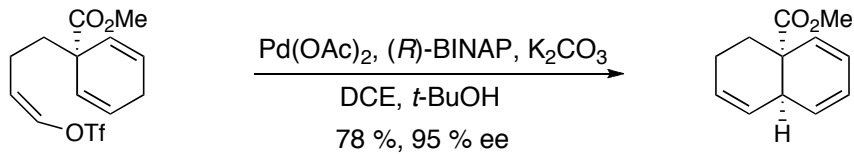
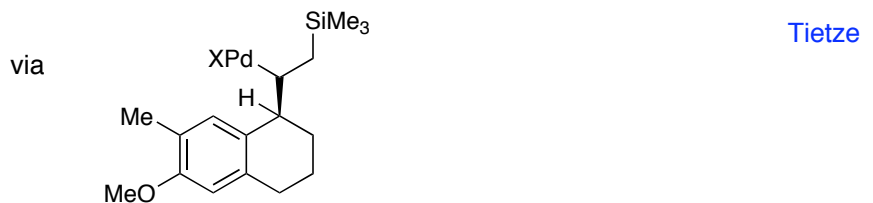
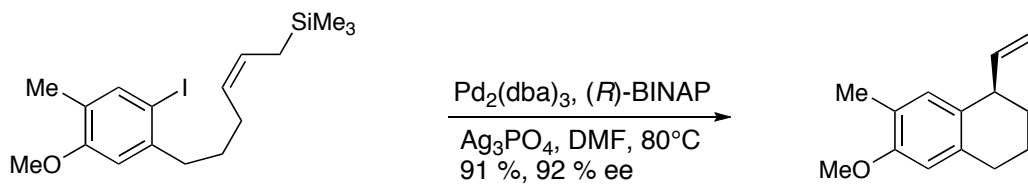
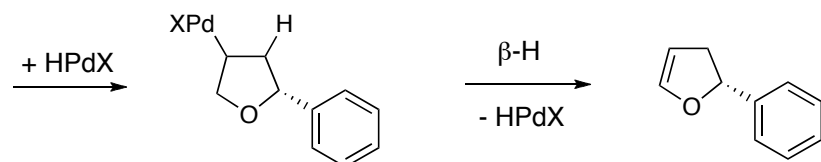
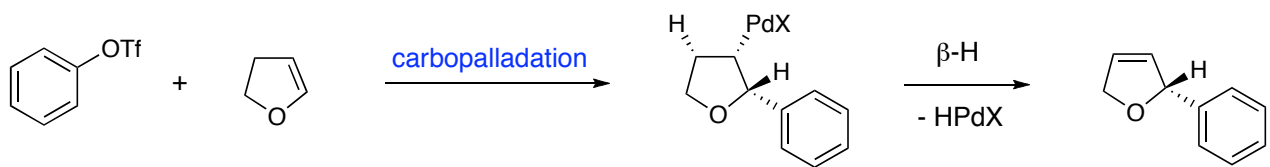
100 %, 96 % ee

65 %, 98 % ee

A**B**

Hayashi

Exemples



Shibasaki

